

# بهبود رفتار گذرای توربین‌های بادی مبتنی بر DFIG با به کارگیری استراتژی کنترلی با میرایی فعال

سعید سلیمانی<sup>(۱)</sup> - بهادر فانی<sup>(۲)</sup> - محمد رضا یوسفی<sup>(۲)</sup>

(۱) کارشناسی ارشد- اداره آموزش و پرورش شهرستان مبارکه، مبارکه، اصفهان

(۲) استادیار - دانشکده مهندسی برق، واحد نجف‌آباد، دانشگاه آزاد اسلامی، نجف‌آباد، اصفهان، ایران

تاریخ پذیرش: ۱۳۹۴/۹/۲۵

تاریخ دریافت: ۱۳۹۳/۹/۲۹

**خلاصه:** در این پژوهش ابتدا درباره مشخصات دینامیکی توربین بادی مجهز به ژنراتور القایی دو سو تغذیه بحث می‌شود. DFIG نسبت به کمبود ولتاژ پایانه ژنراتور بسیار حساس است. زیرا افت ولتاژ عمیق باعث القای ولتاژهای ضد محركه‌ی بزرگ در روتور می‌شود که این امر منجر به عبور جریان گذرای شدید از روتور و افزایش ولتاژ لینک DC در مبدل قدرت و در نتیجه آسیب دیدن مبدل الکترونیک قدرت می‌گردد. ولتاژهای نیروی ضد محركه‌ی القایی (BACK EMF) در DFIG اثرهای دینامیکی استاتور را روی جریان‌های دینامیکی روتور منعکس می‌کند و نقش مهمی روی جریان هجومی روتور در ضمن کمبود ولتاژ ژنراتور دارد. جبران‌سازی این ولتاژها می‌تواند قابلیت اتصال به شبکه ژنراتور را بهبود دهد و جریان‌های گذرای روتور را محدود کند. طرح کنترل خطی به طور مناسب تحت کمبود ولتاژهای بزرگ نمی‌تواند کار کند، در این مورد از کنترل کننده با میرایی فعال جهت بهبود حالت گذرا و پایداری استفاده می‌شود. دیدگاه پیشنهاد شده حالت‌های دینامیکی داخلی را از طریق کنترل ولتاژ روتور پایدار می‌کند و رفتار دینامیکی DFIG را بعد از برطرف شدن خطا بهبود می‌بخشد. نتایج حاصل از مطالعات نظری توسط شبیه‌سازی حوزه زمان کاهش پیک و نوسانات پاسخ گذرای توربین بادی مبتنی بر DFIG را نشان می‌دهند.

**کلمات کلیدی:** توربین بادی، میرایی فعال، پهنهای باند، ژنراتور القایی با تغذیه دو سو، Foc.

## Transient Performance Improvement of Wind Turbines with Doubly Fed Induction Generators Using Active Damping Control Strategy

Saeed Soleymani<sup>(۱)</sup> - Bahador Fani<sup>(۲)</sup> – Mohammad Reza Yousofi<sup>(۲)</sup>

(1) MSc - Department of Mobarakeh City Education, Mobarakeh, Isfahan, Iran  
ssoleimani49@yahoo.com

(2) Assistant Professor - Department of Electrical Engineering, Islamic Azad University, Najafabad Branch,  
Najafabad, Esfahan, Iran  
bahador\_fani@yahoo.com  
Shahgholian@iaun.ac.ir

This paper Analytically investigates the effects of system and controller parameters and operating conditions on the dynamic and transient behavior of wind turbines (WTs) with doubly-fed induction generators (DFIGs) under voltage dips and wind speed fluctuations. Also, it deals with the design considerations regarding rotor and speed controllers. The poorly damped electrical and mechanical modes of the system are identified, and the effects of system parameters, and speed/rotor controllers on these modes are investigated by modal and sensitivity analyses. The results of theoretical studies are verified by time domain simulations. It is found that the dynamic behavior of the DFIG-based WT under voltage dips is strongly affected by the stator dynamics. Further, it is shown that the closed loop bandwidth of the rotor current control, rotor current damping, DFIG power factor and the rotor back-emf voltages have high impact on the stator modes and consequently on the DFIG dynamic behavior. Moreover, it is shown that the dynamic behavior of DFIG-based WT under wind speed fluctuation is significantly dependent on the bandwidth and damping of speed control loop.

**Index Terms:** Doubly fed induction generator, active damping, transient performance, ride-through capability, Bandwidth.

نویسنده مسئول: سعید سلیمانی، کارشناسی ارشد، اداره آموزش و پرورش شهرستان مبارکه، مبارکه، اصفهان، ssoleimani49@yahoo.com

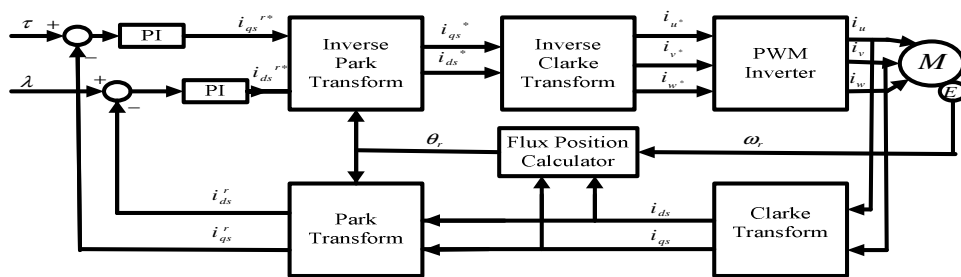
## ۱- مقدمه

و گشتاور موتورهای القایی نتیجه شده است [۱۰]. در [۱۱] از روش کنترل مستقیم توان برای کنترل توان‌های ژنراتور استفاده شده است. در این مراجع، ابتدا توان‌های اکتیو و راکتیو استاتور به ترتیب با توان‌های مرجع مربوطه مقایسه و خطای آن‌ها به کنترل کننده هیسترزیس تزریق می‌شود. در نهایت براساس خروجی هیسترزیس و موقعیت شار استاتور یا روتور با توجه به جدول سوئیچینگ از پیش تعیین شده، سوئیچینگ مبدل الکترونیک قدرت سمت روتور صورت می‌پذیرد. فرکانس سوئیچینگ در این روش متغیر است، به طوری که این موضوع باعث افزایش هزینه مربوطه به ادوات الکترونیک قدرت مبدل می‌شود. از دیگر معایب این روش، آن است که هارمونیک‌های زیادی در نتیجه پیاده‌سازی آن تولید می‌شود. از طرفی برای جلوگیری از رخدادن رزونانس، استفاده از فیلتر هم محدودیت دارد [۱۲]. مهمترین مرحله جهت پایداری سیستم‌های قدرت، بررسی نوسان اول است. اگر پایداری نوسان اول را داشته باشیم، پایداری سیستم قابل برگشت است. در غیر این صورت سیستم ناپایدار می‌شود [۱۳] بنابرین سیستم باید دارای پاسخ دینامیکی سریع باشد. یکی از مهمترین کنترل کننده‌هایی که در صنعت به علت سادگی و ارزان بودن زیاد استفاده می‌شود کنترل کننده‌ی تناسبی انتگرالی PI است. اما این کنترل کننده در برخی موارد دارای عیوبی از جمله افزایش درجه‌ی سیستم (افزایش قطب سیستم) و امکان ناپایداری سیستم برای ضربی بهره تناسبی بزرگ می‌باشد. به طور کلی از تعدادی کنترل کننده در توربین بادی DFIG استفاده می‌شود که شامل حلقه‌های کنترل جریان محور q و d روتور، حلقه‌های کنترل سرعت که توسط جریان و ولتاژ q روتور کنترل می‌شود. حلقه‌های کنترل توان راکتیو به دست آوردن جریان محور d روتور می‌باشد. با اعمال کنترل برداری در مبدل سمت روتور در راستای میدان استاتور، توان اکتیو و راکتیو به صورت مستقل کنترل می‌شود. برای پیاده‌سازی کنترل برداری ژنراتور القایی دو سو تغذیه از کنترل کننده‌های PI استفاده شده است، که علاوه بر عیوبی که در بالا گفته شده، عیوب اصلی کنترل کننده PI مقاوم نبودن آن در شرایط تغییر حزئی پارامترهای سیستم و نقطه کار است [۱۴]. در بعضی مواقع از کنترل کننده‌های غیرخطی برای این امر استفاده شده است. اما پیچیدگی پیاده‌سازی این نوع کنترل کننده‌ها از عیوب آنها محسوب می‌شود [۱۵]. مدل‌سازی دینامیکی قسمت‌های مکانیکی، الکتریکی و کنترل کننده‌های PI روتور نشان می‌دهد که پهنهای باند این کنترل کننده‌ها کم است که باعث کندی پاسخ سیستم می‌شود. بنابراین در این پژوهش، افزایش پهنهای باند کنترل کننده پیشنهاد می‌گردد. برای بهبود عملکرد کنترل کننده‌های PI حلقه کنترل جریان روتور، حلقه کنترل سرعت روتور و حلقه کنترل قدرت راکتیو، پهنهای باند کنترل کننده‌ها با میرایی فعال افزایش داده می‌شود و اثرات آن روی پارامترهای کنترلی بررسی می‌شود. با افزایش پهنهای باند، ردیابی سیستم و سرعت ردیابی مورد ارزیابی قرار می‌گیرد. همچنین اثرات پهنهای باند روی مدهای استاتور، پارامترهای کنترل کننده‌ها، گشتاور الکتریکی، مدهای مکانیکی، حالت‌های گذرا و نوسانات سرعت مورد بررسی قرار می‌گیرد.

جهان امروز با چالش‌های فراوانی در بخش تولید انرژی مواجه است. در سالهای اخیر انرژی‌های تجدیدپذیر به دلیل کاهش آلودگی زیست محیطی ناشی از تولید انرژی الکتریکی مورد توجه قرار گرفته‌اند. استفاده از انرژی باد به عنوان یکی از مهم‌ترین منابع انرژی تجدیدپذیر دارای توجیه اقتصادی، در بسیاری از کشورهای جهان رو به فروخت گذاشته است. ژنراتور القایی دو سو تغذیه در واقع همان ژنراتور القایی روتور سیم‌پیچی شده است که استاتور آن مستقیماً به شبکه الکتریکی متصل است و روتور آن از طریق دو مبدل الکترونیک قدرت پشت به پشت با حلقه لغزان به شبکه متصل می‌گردد. بین دو مبدل یک حافظه که به آن حافظه لینک dc گفته می‌شود، قرار می‌گیرد. این حافظه به عنوان ذخیره کننده انرژی و به منظور ثابت نگاه داشتن ولتاژ (کاهش رپل ولتاژ) به کار می‌رود. وظیفه مبدل سمت روتور، کنترل توان اکتیو و راکتیو ماشین است. مبدل سمت شبکه ولتاژ لینک را کنترل می‌کند، همچنین می‌تواند برای توزیع توان راکتیو و کنترل ولتاژ بکار رود. مزایای توربین‌های بادی مجهر به ژنراتور القایی دو سو تغذیه عبارتند از: ثابت بودن فرکانس الکتریکی شبکه و تنظیم فرکانس الکتریکی روتور. توان نامی مبدل‌های الکترونیک قدرت مورد استفاده در توربین بادی مجهر به ژنراتور القایی دو سو تغذیه به اندازه ۳۰٪ در توربین بادی مجهر به ژنراتور القایی دو سو تغذیه به اندازه ۹۲ درصد برآورد می‌کند [۲۱]. از آنجا که ژنراتورهای القایی نیز مثل ژنراتور سنکرون ولی با کیفیتی متفاوت با مسائل پایداری روبرو هستند، مهم است که مسائل پایداری آنها به شبکه ارزیابی گردد [۴۳]. تحقیقات زیادی در زمینه قابلیت متصل بودن به شبکه و بررسی رفتار دینامیکی DFIG انجام شده است [۲۶]. اخیراً با توجه به نفوذ گسترده و روبه رشد ژنراتورهای بادی در شبکه قدرت، موضوع پایدار نگه داشتن و حفظ اتصال نیروگاه‌های بادی به شبکه در برابر خطاهای و کمبود ولتاژ شبکه از اهمیت زیادی برخوردار گشته است. همچنین تأثیر و مشارکت نیروگاه بادی در کنترل اغتشاشات رخ داده در یک سیستم قدرت بهم پیوسته بسیار مهم است. نیروگاه‌های بادی در برابر نوسانات دینامیکی ولتاژ بخصوص اتصال کوتاه و کمبود ولتاژهای شدید و ناگهانی بسیار حساس و ناپایدار هستند. این امر در مورد توربین‌های بادی که از ژنراتور القایی استفاده می‌کنند، بیشتر است. علت آن نیاز ژنراتور القایی به توان راکتیو و بالا بودن جریان مغناطیسی کنندگی می‌باشد [۲۷]. جریان‌سازی ولتاژهای ضد محركه روتور یکی از روش‌های مؤثر استفاده شده در محدود کردن جریان‌های هجومی روتور و بهبود حالت‌های دینامیکی است [۹۸]. کنترل کننده‌های خطی تحت کمبود ولتاژهای بزرگ نمی‌توانند به طور مناسب کار کنند. در بعضی مواقع، جهت کنترل جریان روتور، از کنترل کننده‌های شبکه عصبی استفاده شده است، اما لزوم جداسازی مؤلفه‌های dq جریان روتور از معایب آن محسوب می‌شود. روش کنترل مستقیم توان ژنراتور القایی دو سو تغذیه، از روش کنترل مستقیم شار

و شار روتور به صورت مستقیم اندازه‌گیری می‌نماید. در روش غیرمستقیم IFOC<sup>۱</sup> زاویه لغزش بین روتور و استاتور بر اساس مشخصات روتور محاسبه شده و با موقعیت فیزیکی روتور جمع می‌شود. وظیفه واحد محاسبه موقعیت شار در شکل (۱)، محاسبه  $\theta_r$  در IFOC است و موقعیت فیزیکی روتور همیشه با انکودر افزایشی نصب شده روی محور روتور بدست می‌آید. در حال حاضر DFOC کاربرد صنعتی نداشته و FOC مرسوم و متداول در واقع FOC می‌باشد. برای کنترل مناسب دینامیک موتور القایی در FOC<sup>۱</sup> باید مولفه‌های  $i_{ds}^r$ ,  $i_{qs}^r$  با دقت کنترل شوند. به این منظور در دو حلقه‌ی بسته کنترل مجزا، اختلاف مقدار مطلوب و مقدار واقعی اندازه‌گیری شده از موتور به يك کنترل کننده PI داده می‌شود. خروجی کنترل کننده‌های PI در سیستم مختصات دوران مبتنی بر جهت شار و روتور توسط تبدیل معکوس کلارک به سیستم سه فاز منتقل و به اینورتر اعمال می‌شوند. روابط (۱) و (۲) به ترتیب بیانگر تبدیل معکوس پارک و کلارک می‌باشند.

**۱-۱- کنترل در راستای میدان FOC**  
پاسخ‌های دینامیکی ضعیف موتور القایی با کنترل اسکالر و در طرف مقابل این ایده به تدریج تکمیل شد و امروزه به عنوان کنترل برداری جایگاه موتور القایی را چنان ارتقاء داده که بسیاری از کاربردهای موتور DC را به خود اختصاص داده است [۱۶]. کنترل برداری تلاش می‌کند تا دو مؤلفه عمود بر هم را در یک موتور AC تولید کند تا امکان کنترل مستقل جریان مولد گشتاور از جریان مولد شار فراهم شده و پاسخی سریع ایجاد شود. برای برسی امکان حذف تداخل ذاتی موجود در جریان‌های مولود گشتاور موتور القایی، تئوری کنترل برداری مورد توجه قرار گرفت. شکل (۱) دیاگرام بلوکی الگوریتم FOC را نشان می‌دهد  $\tau$  گشتاور و  $\lambda$  شار مغناطیسی مطلوب است. شرط لازم برای کنترل مستقل شار و گشتاور در FOC، صحت جهت‌یابی شار روتور و به عبارت بهتر هم راستا بودن  $i_{ds}^r$  با بردار شار روتور می‌باشد و این امر مشروط به داشتن زاویه  $\theta_r$  است. بسته به روش تعیین  $\theta_r$  به FOC دو روش مستقیم و غیرمستقیم تقسیم می‌شود. در روش مستقیم DFOC<sup>۲</sup> یک سنسور اثر هال و یا یک سیم‌پیچ درون موتور تعییه شده



شکل (۱): دیاگرام بلوکی الگوریتم FOC را نشان می‌دهد.

Fig. (1): Block diagram of the FOC algorithm.

$$P_{ww} = C_p(\lambda, \theta) P_{wind} = C_p(\lambda, \theta) \frac{1}{2} \rho A v_{wind}^3 \quad (3)$$

$$T_{ww} = \frac{P_{ww}}{W_{mech}} l = \frac{W_{mech} R}{V_{wind}} = TSR \quad (4)$$

$P_{ww}$  توان خروجی و  $T_{ww}$  گشتاور خروجی توربین بادی می‌باشند. در روابط فوق  $C_p$  ضریب قدرت توربین نامیده می‌شود و همواره بین صفر تا  $0.4477$  قرار خواهد داشت  $V_{wind}$  سرعت باد درست قبل از برخورد با پره‌های  $W_{mech}$  در رابطه‌ی (۴) سرعت زاویه‌ای شفت توربین بر حسب رادیان مکانیکی بر ثانیه می‌باشد. همان‌طور که در رابطه‌ی (۳) نیز مشهود است،  $C_p$  تابع  $\theta, \lambda$  می‌باشد. در واقع  $\lambda$  نسبت سرعت خطی نوک پره توربین به سرعت باد می‌باشد.  $R$  شعاع هر پره و  $\theta$  مساحتی است که پره‌ها هنگام چرخش جاروب می‌کنند.  $\theta$  نیز زاویه پیچش زاویه پره‌ها می‌باشد. رابطه (۵) ارتباط بین  $C_p$ ,  $\lambda, \theta$  را نشان می‌دهد.

$$C_p(\lambda, \theta) = C_1 \left( C_2 \frac{1}{\lambda} - C_3 \theta - C_4 \theta^2 - C_5 \right) \quad (5)$$

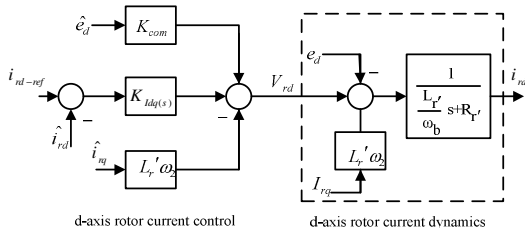
$$\exp \left( -C_6 \frac{1}{\lambda} \right)$$

با توجه به اینکه هدف، علاوه بر کنترل دقیق گشتاور، کنترل سرعت می‌باشد، مطابق شکل (۱) حلقه‌ی کنترلی گشتاور شکل (۱) در کنار حلقه‌ی کنترلی سرعت قرار می‌گیرد. FOC با استفاده از اطلاعات دریافتی، مولفه‌های مولود شار و گشتاور را به صورت مستقل کنترل نموده و ولتاژ، جریان و فرکانس مناسب را از طریق اینورتر PWM<sup>۳</sup> به موتور اعمال می‌نماید.

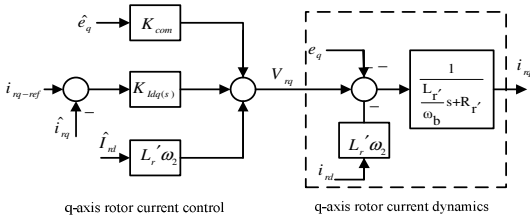
$$\begin{bmatrix} i_{ds} \\ i_{qs} \end{bmatrix} = \begin{bmatrix} \cos \theta_r & -\sin \theta_r \\ \sin \theta_r & \cos \theta_r \end{bmatrix} \begin{bmatrix} i_{ds}^r \\ i_{qs}^r \end{bmatrix} \quad (1)$$

$$\begin{bmatrix} i_u \\ i_v \\ i_w \end{bmatrix} = \begin{bmatrix} 1 & 0 \\ -\frac{1}{2} & \frac{\sqrt{3}}{2} \\ \frac{1}{2} & -\frac{\sqrt{3}}{2} \end{bmatrix} \begin{bmatrix} i_{ds} \\ i_{qs} \end{bmatrix} \quad (2)$$

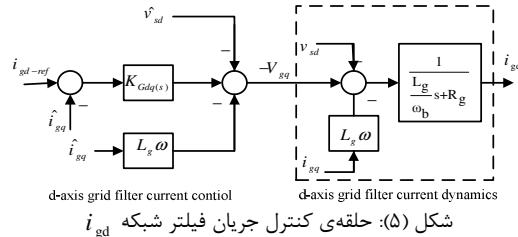
**۲-۱ - توان مکانیکی استخراج شده از باد توسط توربین**  
توان مکانیکی و گشتاوری که از باد توسط چرخش توربین استخراج می‌شود، همواره برابر ضریبی از توان باد می‌باشد. این توان از روابط (۳) و (۴) قابل محاسبه است [۱۷].



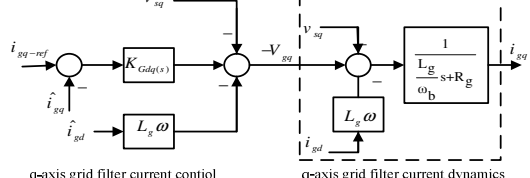
شکل (۳): حلقه‌ی کنترل جریان روتور  $i_{rd}$   
Fig. (3): Rotor current control loop  $i_{rd}$



شکل (۴): حلقه‌ی کنترل جریان روتور  $i_{nq}$   
Fig. (4): Rotor current control loop



شکل (۵): Flow control loop filter network  $i_{gd}$   
Fig. (5): Flow control loop filter network  $i_{gd}$



شکل (۶): حلقه‌ی کنترل جریان فیلتر شبکه  $i_{gq}$   
Fig. (5): Flow control loop filter network  $i_{gq}$

در اینجا  $i_{rdq-ref}$  مؤلفه‌های جریان مرجع d-q روتور را نشان می‌دهد. در رابطه‌ی (۱۰)  $K_{com}$  می‌تواند صفر یا یک باشد.  $K_{com}=1$  این معنی را می‌دهد که ولتاژهای نیروی ضد محركه‌ی القابی به وسیله کنترل کننده‌های جریان روتور نامناسب شوند و  $K_{com}=0$  این معنی را می‌رساند که آنها جریان نمی‌شوند.

#### ۱-۶-۱- مدل فیلتر طرف شبکه

فیلتر نشان داده شده در شکل (۲)، شامل یک اندوکتانس  $L_g$  و مقاومت  $R_g$  می‌باشد و حالت‌های دینامیکی آن به صورت رابطه‌ی (۱۱) توصیف می‌شود. در اینجا اندیس  $g$  مقادیر فیلتر شبکه را نشان می‌دهد و  $V_{gdq}$  و  $i_{gdq}$  به ترتیب مؤلفه‌های d-q ولتاژ ترمینال ژنراتور و جریان و ولتاژ فیلتر طرف شبکه هستند.  $V_g$  از مبدل طرف شبکه تعذیه می‌شود. حلقه‌های کنترل جریان d-q فیلتر طرف شبکه، تحت جریان متغیرهای تزویج متقابل در شکل‌های (۵) و (۶) نشان داده شده است. در این شکل، ولتاژهای  $V_{sdq}$  و  $V_{sq}$  به عنوان اختلال نشان داده

$$\frac{1}{\lambda} = \frac{1}{\lambda + 0.80\theta} - \frac{0.035}{1 + \theta^3} \quad (6)$$

۱-۳- مدل روتور حالت‌های دینامیکی روتور بر حسب جریان روتور و فلوی استاتور به صورت زیر اثبات و توصیف می‌شود :

$$\frac{L'_r}{\omega_b} \frac{di_{rdq}}{dt} = -R'_r i_{rdq} - j\omega_2 L'_r i_{rdq} - e_{dq} + V_{rdq} \quad (7)$$

$$L'_r = L_r - \frac{L_m^2}{L_s}, R'_r = R_r + \left( \frac{L_m}{L_s} \right)^2 R_s \quad (8)$$

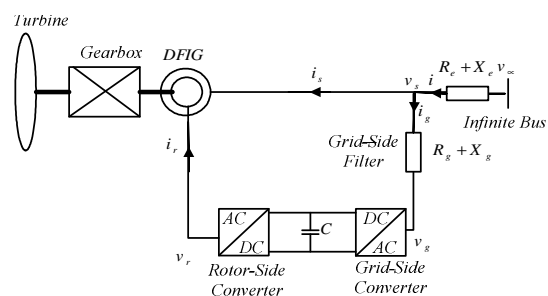
$$e_{dq} = \frac{L_m}{L_s} \left( V_{sdq} - j\omega_r \psi_{sdq} - \frac{R_s}{L_s} \psi_{sdq} \right) \quad (9)$$

$\omega_r$  سرعت روتور و معادل رابطه  $e_d$  و  $e_q$  توابعی از فلوی استاتور و ولتاژ استاتور هستند. این متغیرها، ولتاژهای نیروی ضد محركه‌ی القابی روتور نامنیده می‌شوند و اثرات حالت‌های دینامیکی استاتور را روی حالت‌های دینامیکی جریان روتور منعکس می‌کنند و نقش مهمی در عملکرد گذرای DFIG با جبران‌سازی ترم‌های تزویج متقابل عرضی  $\omega_2 L'_r i_{rq}$  و  $\omega_2 L'_r i_{dq}$  حلقه‌های کنترل جریان d-q روتور، مستقل می‌شوند. ولتاژهای نیروی ضد محركه‌ی القابی  $e_d$  و  $e_q$  به عنوان اختلال در حلقه‌های کنترل جریان در شکل‌های (۳) و (۴) معرفی می‌شوند. بالاترین  $\hat{i}_{dq}$  در شکل‌ها متغیرهای اندازه‌گیری شده یا محاسبه شده در ورودیهای کنترل کننده را مشخص می‌کند. به منظور کاهش ردیابی خطاب، و بهبود دینامیکی جریان‌های روتور و ولتاژهای نیروی ضد محركه‌ی القابی به وسیله کنترل کننده‌های متغیرهای جریان به صورت پیشخور جریان می‌شوند.

با در نظر گرفتن کنترل کننده‌های روتور به صورت PI و همچنین با ساختار کنترلی شکل‌های (۳) و (۴) تحت جبران‌سازی ترم‌های تزویج متقابل، ولتاژ d-q روتور می‌تواند به صورت رابطه‌ی (۱۰) بیان می‌شود.

$$V_{rdq} = K_{p-idq} (i_{rdq-ref} - i_{rdq}) + K_{i-idq} \left( i_{rdq-ref} - i_{rdq} \right) + j\omega_2 L'_r i_{rdq} + K_{com} e_{dq} \quad (10)$$

$$\frac{K_{i-idq}}{s} (i_{rdq-ref} - i_{rdq}) + j\omega_2 L'_r i_{rdq} + K_{com} e_{dq}$$

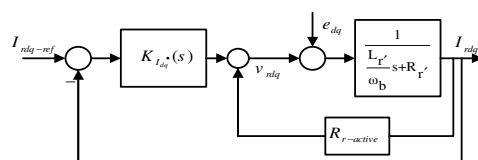


شکل (۲): توربین به همراه DFIG متصل شده به باس بی‌نهایت  
Fig. (2): Turbines with DFIG connected to an infinite bus

$$\Psi_{sd} = L_s i_{sd} + L_m i_{rd}, \Psi_{sq} = L_s i_{sq} + L_m i_{rq} \quad (22)$$

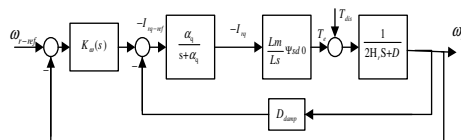
## ۲-۱- بهبود عملکرد گذرای توربین‌های بادی مجهز به ژنراتورهای

القایی دو سو تغذیه با استفاده از استراتژی میرایی فعال DFIG در ولتاژهای نیروی ضد محركه‌ی القایی (BACK EMF) در آثرهای دینامیکی استاتور را روی جریان‌های دینامیکی روتور منعکس می‌کند و نقش مهمی روی جریان هجومی روتور در ضمن کمیود ولتاژ ژنراتور دارد. جبران‌سازی این ولتاژها می‌تواند قابلیت متصل به شبکه ژنراتور را بهبود دهد و جریان‌های گذرای روتور را محدود کند.



شکل (۸): حلقه‌ی کنترل جریان روتور با میرایی مؤثر

Fig. (8): Rotor current control loop with active damping



شکل (۹): حلقه‌ی کنترل سرعت با میرایی مؤثر

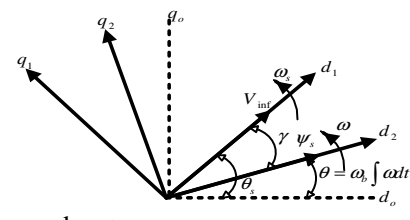
Fig. (9): Speed control loop with active damping

حالتهای دینامیکی داخلی و خارجی DFIG به ترتیب شامل حالت‌های دینامیکی استاتور و روتور می‌باشند. در این مورد از کنترل‌کننده با میرایی فعال استفاده می‌کنیم. در میان راهکارهای مختلف برای به کارگیری توربین‌های بادی سرعت متغیر، سیستم ژنراتور القایی تغذیه دوبل دارای مشهوریت بیشتری شده است. شکل (۳) بلوک دیاگرام توربین بادی مجهز به DFIG را که از طریق امپدانس معادل شبکه به یک باس بین‌نهایت متصل شده، نشان می‌دهد. از نقطه نظر کارایی، سیستم تولید توان به سه فاز عملکردی دسته‌بندی می‌شود: قبل از وقوف خطأ، موقع وقوع خطأ و پس از برطرف شدن خطأ. مطلوب است که توربین‌های بادی به صورت متصل به شبکه باقی بمانند و به طور فعلی در ضمن موقع وقوع خطاهای و پس از برطرف شدن آنها و اختلالات شبکه جهت پایداری سیستم، مشارکت داشته باشند. نشان داده می‌شود که حالت‌های دینامیکی استاتور، دارای میرایی اندکی می‌باشند. با توجه به اینکه مقاومت روتور  $R'$  خیلی کوچک‌تر از اندوکتانس  $L'$  می‌باشد، بنابراین پاسخ جریان روتور به ولتاژ ضد محركه روتور کند است. برای حل این مشکل پهنانی باند حلقة باز سیستم باید افزایش یابد که این کنترل، میرایی فعال نماید. پهنانی باند در واقع قدر مطلق قطب سیستم روتور است. حلقة کنترل جریان با میرایی فعال در شکل (۸) نشان داده شده با توجه به شکل (۸)، برای بهبود پهنانی باند حلقة بسته باید رابطه‌ی (۲۴) را داشته باشیم.  $\alpha_{s-active}$  پهنانی باند با میرایی فعال و  $R_{r-active}$  مقاومت میرایی فعال می‌باشد.

می‌شوند. به منظور کاهش ردیابی خطأ، این ولتاژها با استفاده از متغیرهای پیشخور نشان داده شده در شکل‌های (۵) و (۶) جبران می‌شوند.

$$\frac{L_g}{\omega_b} \frac{di_{gdq}}{dt} = -R_g i_{gdq} - j\omega L_g i_{gdq} - V_{sdq} + V_{gdq} \quad (11)$$

**۲-۲- مدل کردن استاتور متصل به شبکه**  
با در نظر گرفتن کنترل برداری در راستای فلوی استاتور کنترل مستقل توان اکتیو و راکتیو ممکن می‌شود. در مدل مرجع گردان، متغیرهای d-q در حالت ماندگار ثابت‌اند که برای مدل سیگنال کوچک در یک نقطه کار انتخابی مناسب می‌باشد.



شکل (۷): دیاگرام فازوری در دستگاه dq

Fig. (7): Phasor diagrams in the dq set

هدف از این قسمت معرفی مدل دینامیکی یک سیستم تک ماشینه متصل به شین بین‌نهایت در دستگاه مرجع  $d-q$  با در نظر گرفتن راستای میدان استاتور می‌باشد. در روابط فوق  $v$ ,  $\Psi$ ,  $i$  و  $\omega$  به ترتیب معرف شار، ولتاژ و جریان هستند. اندوکتانس‌های  $L_s$  و  $L_r$  اندوکتانس‌های خودی استاتور و روتور هستند،  $L_m$  اندوکتانس متقابل،  $\omega_2$  فرکانس روتور،  $\omega_b$  فرکانس زاویه‌ای اساسی و  $\omega$  سرعت قاب مرجع  $d-q$  منطبق با فلوی استاتور می‌باشد. همچنین  $R_s$  و  $R_r$  مقاومت‌های استاتور و روتور هستند.

$$\Psi_{sd} = \Psi_s, \Psi_{sq} = 0 \quad (12)$$

$$\frac{d\Psi_{qs}}{dt} = \omega_b (V_{qs} - R_s i_{qs} - \omega \Psi_{ds}) \quad (13)$$

$$\frac{d\Psi_{ds}}{dt} = \omega_b (V_{ds} - R_s i_{ds} + \omega \Psi_{qs}) \quad (14)$$

$$T_e = \frac{L_m (\Psi_{qs} i_{dr} - \Psi_{ds} i_{qr})}{L_s} \quad (15)$$

$$\Psi_{ds} = L_s i_{ds} + L_m i_{dr}, \Psi_{qs} = L_s i_{qs} + L_m i_{qr} \quad (16)$$

$$\Psi_{dr} = L_m i_{dr} + L_s i_{ds}, \Psi_{qr} = L_m i_{qr} + L_s i_{qs} \quad (17)$$

$$P_s = V_{dr} i_{dr} + V_{qr} i_{qr}, P_r = V_{dr} i_{dr} + V_{qr} i_{qr} \quad (18)$$

$$Q_s = V_{ds} i_{qs} - V_{qs} i_{ds} \quad (19)$$

$$\frac{L_e}{\omega_b} \frac{di_d}{dt} = -R_e i_d + \omega L_e i_q - V_{sd} + V_{qd} \quad (20)$$

$$V_{sd} = R_s i_{sd} - \omega \Psi_{sq} + \frac{1}{\omega_b} \frac{d\Psi_{sd}}{dt} \quad (21)$$

کاهش ولتاژ و نوسانات سرعت باد داریم بر روی سیستم تحلیل می‌کند. مشتق‌گیری از معادلات دینامیکی ماشین حول نقطه‌ی تعادل مدل فضای حالت سیستم معادلات سیگنال کوچک به دست می‌آیند.

شکل کلی مدل فضای حالت ماشین به صورت زیر است [۱۹].

$$\dot{x} = f(x, z, u) = Ax + Bu$$

$$x = \begin{bmatrix} \Psi_{sd}, \gamma, i_{rd}, x_5, x_6, x_7, x_8 \\ \omega_r, \beta, \omega_t, i_{gq}, x_{14}, x_{15}, v_{dc}, x_{17} \end{bmatrix}^T \quad (28)$$

$$u = [\omega_{r-ref}, Q_{s-ref} v_{dc-ref}, v_{inf}, v_w, I_{gd}]^T$$

معادلات حالت سیستم از روابط (۲۹) تا (۴۶) به دست می‌آید.

$$\frac{d\Psi_{sd}}{dt} = \left( \frac{\omega_b L_s}{L_s + L_e} \right) \begin{bmatrix} -\frac{R_s + R_e}{L_s} \Psi_{sd} \\ + \frac{R_s + R_e}{L_s} L_m i_{rd} - R_e i_{gd} \\ - \frac{L_e L_m}{L_s} \omega_i_{rq} + L_e \omega_i_{gq} \\ + \left( \frac{L_e L_m}{\omega_b L_s} \right) \left( \frac{\omega_b}{L'_r} \right) (-R'_r i_{rd} + v_{rrd}) \\ - \left( \frac{L_e}{\omega_b} \right) \left( \frac{\omega_b}{L_g} \right) (-R_g i_{gd} + v_{ggd}) + v_{Y} \cos \gamma \end{bmatrix} \quad (29)$$

$$\frac{d\gamma}{dt} = \omega_b (\omega_s - \omega) \quad (30)$$

$$\frac{di_{rd}}{dt} = \left( \frac{\omega_b}{L'_r} \right) (-R'_r - R_{r-active}) i_{rd} + v_{rrd} \quad (31)$$

$$\frac{di_{rq}}{dt} = \left( \frac{\omega_b}{L'_r} \right) (-R'_r - R_{r-active}) i_{rq} + v_{rrq} \quad (32)$$

$$\frac{dx_5}{dt} = K_{i-idq} (i_{rd-ref} - i_{rd}) \quad (33)$$

$$\frac{dx_6}{dt} = K_{i-idq} (i_{rq-ref} - i_{rq}) \quad (34)$$

$$\frac{dx_7}{dt} = K_{I\omega} (\omega_{r-ref} - \omega_r) \quad (35)$$

$$\frac{dx_8}{dt} = K_{I-pf} (Q_{s-ref} - Q_s) \quad (36)$$

$$\frac{d\omega_r}{dt} = \frac{T_e + K_s \beta + D(\omega_t - \omega_r)}{2H_r} \quad (37)$$

$$\frac{d\beta}{dt} = \omega_b (\omega_t - \omega_r) \quad (38)$$

$$\frac{d\omega_t}{dt} = \frac{T_m - K_s \beta - D(\omega_t - \omega_r)}{2H_t} \quad (39)$$

$$\frac{di_{gd}}{dt} = \frac{\omega_b}{L_g} (-R_g i_{gd} + v_{ggd}) \quad (40)$$

$$\frac{di_{gq}}{dt} = \frac{\omega_b}{L_g} (-R_g i_{gq} + v_{ggq}) \quad (41)$$

$$a_s = \frac{R'_r}{L'_r} \omega_b \quad (42)$$

$$a_{s-active} = \frac{R'_r + R_{r-active}}{L'_r} \omega_b \quad (43)$$

## ۲-۲- مدل مکانیکی توربین بادی و کنترل کننده سرعت

مدل مکانیکی توربین بادی شامل توربین، جعبه دنده، محورها و دیگر قطعات مکانیکی می‌باشد. مدل‌های مکانیکی دو جرمی DFIG در مرجع [۱۸] آورده شده‌اند:

$$\frac{d\omega_r}{dt} = \frac{T_e + K_s \beta + D(\omega_t - \omega_r)}{2H_r} \quad (44)$$

$$\frac{d\omega_t}{dt} = \frac{T_m - K_s \beta - D(\omega_t - \omega_r)}{2H_t} \quad (45)$$

$$\frac{d\beta}{dt} = \omega_b (\omega_t - \omega_r) \quad (46)$$

که  $\omega_r$  و  $\omega_t$  به ترتیب سرعت‌های ژنراتور و توربین (بر حسب پریونیت) هستند،  $\beta$  زاویه پیچش شافت (بر حسب رادیان)، و  $H_t$  و  $H_r$  به ترتیب ثابت‌های اینرسی ژنراتور و توربین هستند (بر حسب ثانیه)،

$D$  ضریب سختی محور (بر حسب پریونیت بر رادیان الکتریکی) و  $K_s$  ضریب میرایی (بر حسب پریونیت) و  $T_m$  توان پریونیت به ترتیب گشتاور الکتریکی

ژنراتور و گشتاور مکانیکی توربین هستند (بر حسب پریونیت) با در نظر گرفتن راستای فلوی استاتور، سرعت روتور به وسیله مؤلفه جریان و

ولتاژ  $q$  روتور ( $V_{rq}, i_{rq}$ ) کنترل می‌شوند. طرح کنترل استفاده شده برای کنترل سرعت در شکل (۹) نشان داده شده است. در این شکل،

$a_q$  پهنه‌ای باند حلقه کنترل جریان محور  $q$  روتور می‌باشد و  $P_I$  با  $T'_m = K_s \beta + D \omega_t$  به کارگرفتن یک کنترل کننده PI برای

کنترل کننده سرعت به صورت  $K_{pw} + \frac{K_{lw}}{s}$  یک متغیر میراکننده فعال برای افزایش پهنه‌ای باند حلقه باز به مقدار

$$\alpha_t = \frac{D}{2H_r} \quad (47)$$

$$\alpha_t = \frac{D + D_{damp}}{2H_r} \quad (48)$$

استفاده شود و در نتیجه پاسخ دینامیکی سرعت روتور بهبود می‌یابد.

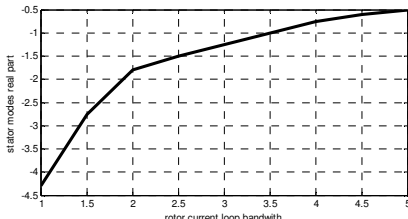
## ۳-۲- تجزیه و تحلیل سیگنال کوچک

مطالعات مربوط به رفتار دینامیکی توربین‌های باد مجهز به DFIG در دو دسته‌ی کلی قرار می‌گیرد. مطالعات مبتنی بر شبیه‌سازی در

حوزه‌ی زمان که نمایشی از رفتار دینامیکی DFIG است و مطالعات مبتنی بر تحلیل مقادیر ویژه و تحلیل پاسخ فرکانسی تحلیل مُدال که

مدهای پایداری و فعل و انفعالات بین مدهای دینامیکی را مشخص می‌کند. این پژوهش رفتار دینامیکی توربین باد مجهز به DFIG که

متصل به باس بی‌نهایت است را بررسی می‌کند و اثرات پارامترهای کنترل کننده روتور و سرعت و شرایط بهره‌برداری را در حالتی که



شکل (۱۱): تغییرات بخش حقیقی مدهای استاتور نسبت به تغییر پهنای

Fig. (11): Changes of the real modes v.s change of the width of the stator

مد  $\lambda_{12}$  مد الکترومکانیکی و متغیر  $\omega$  بیشترین تاثیر را دارد. مد  $\lambda_{13}$  مد دارای میرایی ضعیفی است. مدهای  $\lambda_{14,15}$  مربوط به  $v_{dc}$  و میرایی ضعیفی دارد. مد  $\lambda_{16}$  مد الکترومکانیکی و متغیر  $x_{14}$  بیشترین تاثیر را دارد. مد  $\lambda_{17}$  مد الکترومکانیکی و متغیر  $i_{rd}$  بیشترین تاثیر را دارد. ضرائب مشارکت نشان می‌دهند که پس از  $\gamma_{sd}$  متغیرهای حالت  $i_{rq}, i_{rd}$  بیشترین اثر را روی مدهای میرایی کوچک استاتور  $\lambda_{3,4}$  دارند. به طور معمول با افزایش پهنای باند کنترل حلقه بسته جریان رتور  $\alpha_{dq}$  دینامیک‌های جریان رتور بهبود می‌یابد، خطای تعقیب متغیرهای حالت رتور کاهش و گذرای جریان رتور محدود می‌شود. اما باید دید که اثر تغییر پهنای باند  $\alpha_{dq}$  در مدهای ناکافی میرای استاتور چگونه است. شکل (۱۰) قسمت حقیقی مدهای استاتور نسبت  $\alpha_{dq}$  را نشان می‌دهد با توجه به شکل (۱۱) با افزایش پهنای باند  $\alpha_{dq}$  با ثابت نگه داشتن سایر پارامترها میرایی مدهای استاتور کاهش قابل توجهی دارند.

**۴-۲- حساسیت مدهای استاتور نسبت به جریان d روتور**  
در حالت کلی توان راکتیو از رابطه (۴۷) به دست می‌آید. با کنترل برداری در راستای شار استاتور، و پس از ساده کردن روابط توان راکتیو مستقیماً متناسب با  $i_{rd}$  از رابطه (۴۸) به دست می‌آید. بیشترین اثر روى مدهای ناکافی میرا شده استاتور را خود متغیرهای حالت استاتور دارند و این متغیرهای حالت نسبت به تغییرات  $i_{rd}$  بسیار اثربخشند.  $i_{rd}$  علاوه بر گذرا F واحد به سمت P.F پیش فاز Leading اثربخشند. میرایی مدهای استاتور را نیز به طور عمده کاهش می‌دهد. به طور معمول کنترل و تولید توان راکتیو توسط مبدل RSC در حالت  $i_{rd}$  و کارکردن DFIG در مُد Leading P.F در شرایط عادی موجب بهبود پروفیل ولتاژ شبکه، شاخص کیفیت توان و در شرایط پس از خطای می‌تواند به بازیابی ولتاژ شبکه کمک نماید اما میرایی مدهای دینامیکی استاتور را خراب می‌کند. (جدول (۲) را نگاه کنید).

## ۵- جبران ولتاژهای **BEMF** رotor

با گنجاندن عبارت پیش رو  $k_{com}e_{dq}$  در حلقه کنترل جریان رتور، ولتاژهای **BEMF** رotor که منعکس کننده دینامیک‌های استاتور در معادلات دینامیکی رotor هستند با هدف کاهش خطای تعقیب متغیرهای رotor از مراجعشان جبران می‌شود.

$$\frac{dx_{14}}{dt} = K_{i-g} (i_{gd-ref} - i_{gd}) \quad (42)$$

$$\frac{dx_{15}}{dt} = K_{i-g} (i_{gq-ref} - i_{gq}) \quad (43)$$

$$\frac{dx_{\beta}}{dt} = K_{i-\beta} (P_g - P_{g-ref}) \quad (44)$$

$$\frac{d\beta_p}{dt} = \frac{1}{T_{\beta}} (\beta_{p-ref} - \beta_p) \quad (45)$$

$$\frac{dV_{dc}}{dt} = \left( \frac{\omega_b}{CV_{dc}} \right) (P_{rr} - P_{gg}) \quad (46)$$

بردار ستونی  $X$  بردار حالت، و عناصر آن، متغیر حالت نامیده می‌شوند. بردار ستونی  $u$ ، بردار ورودی‌های سیستم بردار کنترل است که سیگنال‌های خارجی هستند که بر عملکرد سیستم تأثیر می‌گذارند. با تحلیل مُدل سیستم با مشخصات داده شده در ضمیمه از جدول تحلیل مُدل (۱) نتایج زیر به دست می‌آید: مدهای جریان رتور  $\lambda_{1,2}$  بسیار سریع و متغیرهای  $i_{dr}$  و  $i_{qr}$  بیشترین مشارکت را در این مدها دارند. بخش حقیقی این مدها تقریباً برابر با پهنای باند حلقة بسته جریان رتور  $\alpha_{dq}$  است. بنابراین بزرگ بودن این پهنای باند منجر به میرایی سریع تر این مدها می‌گردد. مدهای  $\lambda_{3,4}$  مدهای دینامیکی استاتور می‌باشند. فرکانس طبیعی نزدیک به فرکانس شبکه دارند. در بین کلیه مدهای سیستم این مدها بالاترین اثر را روی رفتار گذرای و رفتار پس از گذرا DFIG دارند. دینامیک‌های روتور بهبود و از دینامیک‌های استاتور مستقل شوند و جریان هجومی روتور در طول خطاهای افت شدید ولتاژ، کاهش می‌یابد و نوسانات ولتاژ لینک DC حذف می‌گردد. مد  $\lambda_5$  متناظر است با متغیر  $X_5$  و میرایی سریعی دارد. مد  $\lambda_6$  مدهای الکترومکانیکی است و متغیرهای  $\beta$  اثر زیادی روی این مد دارند. مد  $\lambda_7$  متناظر است با متغیر  $\omega$  و میرایی ضعیفی دارد. مد  $\lambda_8$  متناظر است با متغیر  $Q_s$  و  $M_{ss}$  میرایی سریعی دارد. مدهای  $\lambda_{9,10}$  متناظر است با متغیر  $Q_s$  و  $M_{ss}$  میرایی سریعی دارد. مد  $\lambda_{11}$  مربوط به فیلتر طرف شبکه است و میرایی ضعیفی دارد.

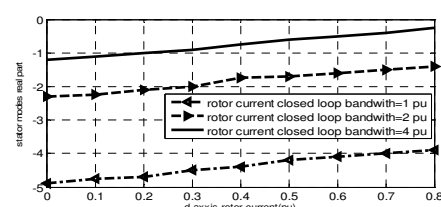
شکل (۱۰): بخش حقیقی مدهای استاتور نسبت به تغییرات  $i_{rd}$  تحت چند پهنای باند مشخصه حلقه بسته جریان رotor

Fig. (10): The real modes of the stator to changes under the closed loop bandwidth characteristic of the rotor

نقطه‌ی PCC بی‌نهایت فرض شده است. در این قسمت برای بررسی اثر وصل DFIG با امپدانس به شبکه روی میرایی مدهای استاتور، برای نقطه PCC SCR را برابر  $10\text{pu}$  در نظر می‌گیریم. با  $R_e/L_e$  نتایج تحلیل مُدال در این حالت نشان می‌دهد  $\lambda_{3,4} = -14.04 \pm 331\text{j}$  که وجود امپدانس شبکه باعث بهبود میرایی مدهای استاتور شده است در حالی که دیگر مدها تقریباً بدون تغییر مانده‌اند.

#### ۷-۲- حساسیت مقادیر ویژه و عامل مشارکت

حساسیت بیان تأثیرپذیری کار سیستم بر اثر تغییرات پارامترهای سیستم است.

$$\frac{\lambda_i}{a k_i} = \Psi_{ik} \Phi_{ji} \quad (49)$$

حساسیت مقدار ویژه  $\lambda_i$  به عنصر  $a_{ki}$  از ماتریس حالت مساوی حاصل ضرب عنصر ویژه چپ  $\Psi_{ik}$  و عنصر بردار ویژه راست  $\Phi_{ji}$  می‌باشد. عامل مشارکت که به عنوان اندازه‌ای از رابطه بین متغیرهای حالت و مدها می‌باشد که بردار ویژه‌ی راست و چپ را به صورت زیر ترکیب می‌کند.

$$P_i = [P_{1i} \ P_{2i} \ \dots \ P_{ni}]^T = \begin{bmatrix} \varphi_{1i} \times \psi_{i1} \\ \varphi_{2i} \times \psi_{i2} \\ \vdots \\ \varphi_{ni} \times \psi_{in} \end{bmatrix} \quad (50)$$

$$P_{ki} = \frac{\lambda_i}{k k_i} = \Psi_{ik} \Phi_{ki} \quad (51)$$

که در آن  $\Psi_{ik}$  کامین ورودی بردار ویژه راست  $\Phi_{ki}$  است.  $\Psi_{ik}$  کامین ورودی بردار ویژه چپ  $\Psi_{ki}$  است. عنصر  $P_{ki} = \Psi_{ki} \Phi_{ki}$  ضریب مشارکت نامگذاری شده است که سنجشی از مشارکت نسبی کامین متغیر حالت در آمین مدها باشد. از آنجا که  $\Phi_{ki}$  فعالیت  $X_k$  در آمین مدها را اندازه‌گیری کرده،  $\Psi_{ik}$  سهم این فعالیت را وزن‌دهی می‌کند، حاصل ضرب  $P_{ki}$  مشارکت خالص را اندازه‌گیری می‌کند. همچنین تأثیر ضرب کردن عناصر بردارهای ویژه چپ و راست در بدون بعد کردن  $P_{ki}$  ظاهر می‌شود. به عبارت دیگر، مستقل از انتخاب واحدها می‌باشد.

#### ۸-۲- آنالیز حساسیت مدهای استاتور

همان طور که مشاهده شد مدهای استاتور دارای میرایی ضعیفی هستند. این مدها اثر قابل توجهی روی کارآئی گذرای DFIG به ویژه حین و پس از خطای دارند. در ادامه حساسیت این مدها نسبت به مواردی از قبل  $\alpha_{dq}$ ، میرایی مؤثر حلقه‌ی کنترل جریان روتور، ولتاژهای BEMF روتور بررسی می‌شود. ضرائب مشارکت در جدول (۱) نشان می‌دهند که پس از  $\Psi_{sd}$ ، متغیرهای حالت  $I_{rd}$  و  $I_{rq}$  بیشترین اثر را روی مدهای میرایی کوچک استاتور  $\lambda_{3,4}$  دارند. به طور معمول با افزایش پهنهای باند کنترل حلقه بسته‌ی جریان روتور  $\alpha_{dq}$  دینامیک‌های جریان روتور بهبود می‌یابد، خطای تعییب متغیرهای حالت روتور کاهش گذراهای جریان روتور محدود می‌شود. اما باید دید که اثر تغییر پهنهای باند  $\alpha_{dq}$  در مدهای ناکافی میرایی استاتور چگونه است. شکل (۱۰)

Table (1): Modal Parameters

جدول (۱): پارامترهای مدل

مدها	فرکانس نوسان	نسبت میرایی	متغیرهای حالت با بیشترین ضریب مشارکت
$\lambda_1 = -1173.9$	0	1	$I_{dg} = I_{eg} = 49.83\%$
$\lambda_2 = -1208.3$	0	1	$I_{dg} = I_{eg} = 49.83\%$
$\lambda_3 = -2.1+367j$	58.011	0.0058	$\psi_{ad} = 97.54\%$
$\lambda_4 = -2.1-367j$	58.011	0.0058	$x_s = 98.85\%$
$\lambda_5 = -601.8$	0	1	$\omega = 99.36\%$
$\lambda_6 = -59.6$	0	1	$\omega_i = 97.42\%$
$\lambda_7 = -2.6+13j$	2.072	0.1969	$I_{dg} = I_{eg} = 49.34\%$
$\lambda_8 = -2.6-13j$	2.072	0.1969	$x_{15} = 99.4\%$
$\lambda_9 = -1259.4$	0	1	$x_7 = x_8 = 42.8\%$
$\lambda_{10} = -2$	0	1	$x_7 = x_8 = 49.28\%$
$\lambda_{11} = -1.9$	0	1	$I_{dg} = I_{eg} = 42.5\%$
$\lambda_{12} = -0.4+0.2j$	0.034	1	$\omega_i = 99.92\%$
$\lambda_{13} = -0.4-0.2j$	0.034	0.8766	$\gamma = 93.87\%$
$\lambda_{14} = -0.5$	0	0.8766	$x_{17} = 99.92\%$
$\lambda_{15} = -0.5$	0	1	$v_\infty = 99.92\%$
$\lambda_{16} = -1$	0	1	$x_6 = 94.57\%$
$\lambda_{17} = -1$	0	1	$x_{14} = 99.3\%$

Table (2): Power factor as a function of the rotor stator

جدول (۲): ضریب قدرت استاتور به صورت تابعی از جریان روتور

$I_{rd}$	0.172	0.345	0.689	0.862
ضریب قدرت	0.984 lag	1	0.916 lead	0 lead

$$Q_s = V_{sd} I_{sq} - V_{sq} I_{sd} \quad (47)$$

$$Q_s = \frac{\omega_s}{L_s} \Psi_{sd} (I_{m1} i_{rd} - \Psi_{sd}) \quad (48)$$

با توجه به رابطه (۹) ولتاژهای BEMF روتور وابسته به متغیرهای حالت استاتور هستند و این امکان وجود دارد که با جبران این ولتاژها ( $k_{com} = 1$ ) میرایی مدهای دینامیکی استاتور  $j = -0.42 \pm 375j$  تحت تأثیر قرار گیرد. نسبت با حالت بدون جبران ولتاژهای BEMF میرایی بسیار کمتر شده است. و بقیه مدها تقریباً بدون تغییر باقی می‌مانند. اگر چه جبران  $e_{dq}$  منجر به کاهش خطای تعییب جریان روتور می‌شود اما کاهش میرایی مدهای استاتور را به دنبال دارد. پس برای طراحی حلقه‌های داخلی کنترل جریان باید مسامحه‌ای بین میزان کارآئی جبران این ولتاژها و پایداری مدهای استاتور صورت گیرد.

۶- حساسیت مدهای استاتور نسبت به امپدانس شبکه: در تحلیل مُدال انجام شده فرض شد که سیستم DFIG بدون امپدانس به شبکه متصل شده است. نسبت اتصال کوتاه SCR در

(۲) واضح است که افزایش  $\alpha_{rd}$  علاوه بر گذر از P.F واحد به سمت P.F پیش فاز (Leading) که منجر به تزریق توان راکتیو DFIG به شبکه می‌شود، میرایی مدهای تحت جبران  $e_{dq}$  نشان می‌دهد. اگرچه جبران منجر به کاهش خطای تعقیب جریان رتور می‌شود اما کاهش میرایی مدهای استاتور را به دنبال دارد. پس برای طراحی حلقه‌های داخلی کنترل جریان باید مسامحه‌ای بین میزان کارآبی جبران این ولتاژها و پایداری مدهای استاتور صورت گیرد.

$$\frac{\lambda_3}{R_{r-active}} = \frac{\lambda_4}{a_{33} R_{r-active}} + \frac{\lambda_3}{a_{44} R_{r-active}} \quad (52)$$

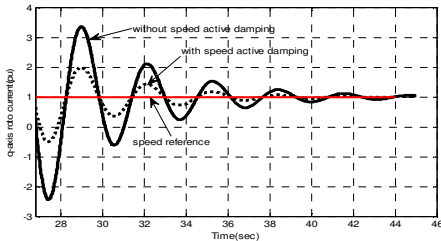
## ۹-۲- تحلیل حساسیت مدهای مکانیکی

مطابق جدول (۱) میرایی مدهای مکانیکی  $\lambda_{12,13}$  نسبتاً کوچک است. متغیرهای حالت اثر گذار در این مدها  $\omega_r$  و  $\gamma$  هستند که هر دو وابسته به  $\omega_r$  می‌باشند. بنابراین می‌توان با تغییر پهنهای باند کنترل سرعت پهنهای باند حلقه باز  $\alpha_i$  و پهنهای باند حلقه

$$= \frac{D}{2H_r} \quad \text{کنترل سرعت پهنهای باند حلقه باز}$$

$$\alpha_i = \frac{k_{p-\omega} L_m \Psi_{s0}}{2H_r L_s} \quad \text{بسطه میرایی مثل میرایی مؤثر، میرایی}$$

این مدها را افزایش داد. یادآور می‌شویم که متغیرهای حالت با بالاترین اثرگذاری در مدهای  $\lambda_{5,6}$  و  $\beta$  هستند که  $\beta$  نیز وابسته به  $\omega_r$  بوده، و در نتیجه می‌توان با پهنهای باند کنترل سرعت روی این مدها نیز اثر گذاشت [۲۰، ۲۱].



شکل (۱۳): پاسخ DFIG به تغییر پله در مرجع سرعت زنرатор جریان محور  $q$  رotor

Fig. (13): DFIG response to step changes in the Q-axis current generator rotor reference rate

برای ایجاد تغییر در پهنهای باند حلقه‌ی باز می‌توان از میرایی مؤثر استفاده نمود:  $\alpha_i = \frac{D}{2H_r} + \frac{L_m}{2H_r L_s \Psi_{sd}} D_{damp}$  برای بررسی و تأیید مفید بودن استفاده از روش میرایی مؤثر، شبیه‌سازی حوزه‌ی زمان با ایجاد یک تغییر پله‌ای در مرجع سرعت توربین باد  $\omega_{ref}=1.3pu$  به  $\omega_{ref}=1.2pu$  در  $t=28sec$  انجام شده است و نتایج در شکل (۱۱) آمده است. طبق رابطه‌ی  $\frac{d\omega_r}{dt} = \frac{T_e + K_s \beta + D(\omega_i - \omega_r)}{L_s \Psi_{sd} r_q}$  نوسانات

سرعت روی گشتاور الکتریکی و گشتاور الکتریکی روی جریان محور  $q$  رotor تأثیرگذار است. به همین خاطر در شکل (۱۲) اثر میرایی مؤثر سرعت روی این جریان نیز بررسی شده است. نتایج بیانگر بهبود کارآبی دینامیکی DFIG تحت میرایی مؤثر سرعت بوده و همچنین نشان می‌دهند که زمان نشست و بالا زدگی نیز بهبود یافته است.

قسمت حقیقی مدهای استاتور نسبت  $\alpha_{dq}$  را نشان می‌دهد و همان طور که می‌بینید با افزایش پهنهای باند  $\alpha_{dq}$  با ثابت نگهداشت سایر پارامترها میرایی مدهای استاتور کاهش قابل توجهی دارد. برای واضح‌تر شدن این موضوع، آنالیز حساسیت مدهای استاتور  $\lambda_{3,4}$  نسبت به پهنهای باند  $\alpha_{dq}$  را به صورتی که در ادامه می‌آید، انجام می‌دهیم. اگر بخواهیم، تأثیر یک متغیر حالت را روی یک مُد بسنجیم باید از مُد نسبت به

$$\text{آن مُتغیر مشتق گیری کنیم } P_{ki} = \frac{\partial \lambda_i}{\partial a_{kk}} \quad \lambda_i \text{ مُد مورد نظر و } k$$

$a_{kk}$  امین المان قطری ماتریس حالت است. در واقع با این کار حساسیت مُد به متغیر حالت معین می‌شود. با توجه به توضیحات داده شده در

$$\text{این قسمت به دنبال } P_{41} = \frac{\frac{\partial \lambda_4}{\partial a_{44}}}{\frac{\partial a_{44}}{\partial a_{33}}} = \frac{P_{31}}{a_{33}} \quad \text{و } P_{31} = \frac{\frac{\partial \lambda_3}{\partial a_{33}}}{\frac{\partial a_{33}}{\partial a_{44}}} = \frac{P_{41}}{a_{44}}$$

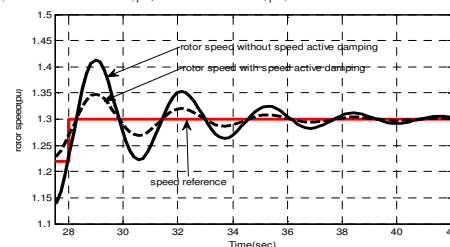
از معادلات (۵۰) به دست می‌آید.

$$a_{44} = -\frac{\omega_b}{L'_r} \left( R'_r + k_{p-iq} + R_{r-active} \right) \quad (50)$$

$$a_{33} = -\frac{\omega_b}{L'_r} \left( R'_r + k_{p-id} + R_{r-active} \right)$$

$$\frac{\lambda_3}{\alpha_{d(pu)}} = \frac{\lambda_3}{a_{33}} \frac{a_{33}}{\alpha_{d(pu)}} = P_{31} \frac{a_{33}}{\alpha_{d(pu)}} = P_{31} (-\omega_b) \quad (51)$$

$$\frac{\lambda_4}{\alpha_{q(pu)}} = \frac{\lambda_4}{a_{44}} \frac{a_{44}}{\alpha_{q(pu)}} = P_{41} \frac{a_{44}}{\alpha_{q(pu)}} = P_{41} (-\omega_b)$$



شکل (۱۲): پاسخ DFIG به تغییر پله در مرجع سرعت زنرатор سرعت روتور

Fig. (12): DFIG response to step change in the rotor speed reference

از آنالیز حساسیت فوق مشاهده می‌شود که با زیاد شدن  $\alpha_{dq}$  میرایی مُد  $\lambda_3$  استاتور کاهش خواهد یافت با استفاده از داده‌های مسئله مقادیر رابطه‌ی (۵۱) به ترتیب  $2.37+j0.226$ ,  $1.92+j0.1885$  به دست می‌آید و این اثر در مورد  $\alpha_{dq}$  بیشتر است. همچنین افزایش مقاومت روتور به طور پسیو یا اکتیو میرایی مؤثر  $R_{r-active}$  می‌تواند میرایی مدهای استاتور را کاهش دهد. با استفاده از داده‌های مسئله مقادیر رابطه‌ی (۵۲) مقدار حساسیت  $R_{r-active}$  به دست می‌آید همان طور که مشاهده می‌نمایید حساسیت مُد استاتور به بسیار زیاد است و وجود میرایی مؤثر حلقه‌ی کنترل جریان روتور می‌تواند به طور قابل توجهی میرایی مدهای استاتور را کاهش دهد. در تغییرات  $\alpha_{dq}$  بسیار اثر پذیرند. با توجه به مقدار به دست آمده از جدول

استاتور، گشتاور الکتریکی و جریان‌های رتور و غیره را در دو حالت  $i_{rd-ref} = 0.6pu$  و  $i_{rd-ref} = 0.3pu$  در این حالت DFIG توان راکتیو  $15/0$  پریونیت به شیکه تزریق می‌کند یعنی در مد Leading P.F کار قرار دارد نشان می‌دهد. همان‌طور که ملاحظه می‌کنید با افزایش اندازه  $i_{rd}$  حد پایداری DFIG در حین خطا  $(18/3)$  ثانیه، کوچک شده است. اما پس از خطا ثانیه  $18/3$  به بعد بر عکس می‌شود. این دلیلی است بر این که میرایی مدهای حساس استاتور و در نتیجه رفتار گذرای DFIG با افزایش جریان  $i_{rd}$  خراب می‌شود.

#### ۷-۲- تأثیر نسبت امپدانس شبکه $\frac{R_e}{X_e}$

نسبت  $\frac{R_e}{X_e}$  به دلیل اثرگذاری در میرایی مدهای استاتور در رفتار گذرای DFIG تأثیرگذار است. یک Dip ولتاژ  $30\%$  در  $t=18sec$  در DFIG ایجاد شده است. نتایج در دو مقدار  $\frac{R_e}{X_e} = 0.1$  و  $\frac{R_e}{X_e} = 0.3$  در شکل  $(17)$  نشان داده شده است. مشاهده می‌شود که رفتار گذرای DFIG در حالت  $\frac{R_e}{X_e}$  بزرگ‌تر بهبود یافته و نوسانات و زمان نشست کوچکتری حاصل شده است.

#### ۷-۳- تأثیر نسبت امپدانس شبکه $\frac{R_e}{X_e}$ ، جریان محور $d$ روتور، پهنهای

ضریب توان  $^4DFIG$ ، جبران ولتاژهای BEMF روتور، پهنهای باند حلقه بسته‌ی جریان روتور و میرایی مؤثر جریان روتور این قسمت یک Dip ولتاژ  $3$  فازه با طول زمان  $300$  میلی ثانیه در DFIG. جبران ولتاژهای BEMF روتور، پهنهای باند حلقه بسته‌ی جریان روتور و میرایی مؤثر جریان روتور همزمان به DFIG اعمال می‌شود. مشاهده می‌شود که رفتار گذرای DFIG در این حالت بهبود یافته و نوسانات و زمان نشست کوچکتری حاصل شده است.

#### ۷-۴- نتیجه‌گیری

ولتاژهای نیروی ضدحرکتی القایی در DFIG اثرهای دینامیکی استاتور را روی جریان‌های دینامیکی روتور منعکس می‌کند و نقش مهمی روی جریان هجومی روتور در ضمن کمبود ولتاژ ژنراتور دارد. جریان‌سازی این ولتاژها می‌تواند جریان‌های گذرای روتور را محدود کند. طرح کنترل خطی به طور مناسب تحت کمبود ولتاژهای بزرگ نمی‌تواند کار کند.

زمان بهبود پاسخ‌های گذرا را نشان می‌دهد افزایش پهنهای باند، ردیابی سیستم و سرعت ردیابی را بیشتر می‌کند. این پژوهش در مورد ویژگی‌های دینامیکی و بهبود عملکرد گذرا در توربین‌های باد با DFIGها بحث شد. تجزیه و تحلیل و ردیابی مقادیر ویژه برای شناسایی عدم بی‌ثباتی استفاده شد.

#### ۸-۱- شبیه‌سازی حوزه‌ی زمان

در این بخش اثرات پارامترهای  $\alpha_{dq}$ ، میرایی مؤثر حلقه‌ی کنترل جریان روتور، ولتاژهای BEMF روتور، جریان محور  $d$  روتور و ضریب توان DFIG و سرانجام اثر نسبت امپدانس شبکه  $\frac{R_e}{X_e}$  روی رفتار گذرای DFIG به وسیله‌ی شبیه‌سازی حوزه‌ی زمان رسیدگی می‌شود.

#### ۸-۲- تأثیر پهنهای باند حلقه‌ی بسته‌ی جریان روتور و میرایی مؤثر جریان روتور

برای رسیدن به این هدف یک Dip ولتاژ  $30\%$  با طول زمان  $300$  میلی ثانیه در  $t=18sec$  در ترمینال DFIG ایجاد شده است. نقاط بهره‌برداری DFIG قبل از خطا:  $S_0 = -0.24$  (sleep) در شکل  $(16)$  پاسخ‌ها با  $2$  پهنهای باند  $1$  پریونیت و  $4$  نشان می‌دهند. در شکل  $(14)$  پاسخ‌ها با  $2$  پهنهای باند  $1$  پریونیت و  $4$  پریونیت به نمایش در آمداند. نتایج نشان می‌دهند که افزایش پهنهای باند کنترل هرچند مواردی مثل بهبود دینامیک جریان روتور، محدودیت گذرای کاهش بالازدگی (فراجهش) جریان روتور، گشتاور الکتریکی و شار استاتور و کاهش خطای تعقیب جریان روتور را بهدبناه دارد اما منجر به نوسانی بودن پاسخ گذرا با زمان نشست بزرگ می‌شود و می‌توان نتیجه گرفت که پاسخ گذرا DFIG در حین خطا خراب می‌گردد. لذا برای انتخاب پهنهای باند کنترل جریان روتور باید مسامحه‌ای بین بالازدگی و زمان نشست پاسخ‌ها در نظر گرفت. در شکل  $(15)$  پاسخ‌ها در  $2$  حالت میرایی مؤثر و بدون میرایی مؤثر آورده شده‌اند در هر دو حالت پهنهای باند کنترل جریان روتور  $1$  پریونیت است. در حالتی که میرایی مؤثر داریم بالازدگی پاسخ‌هایی مثل گشتاور الکتریکی، شار استاتور و جریان روتور محدود شده است اما زمان نشست کلیه‌ی پاسخ‌ها و نیز بالازدگی پاسخ ولتاژهای روتور زیاد شده است.

#### ۸-۳- تأثیر ولتاژهای BEMF روتور

در این قسمت یک Dip ولتاژ  $3$  فازه با طول زمان  $300$  میلی ثانیه در ترمینال DFIG اعمال شده است. شکل  $(17)$  رفتار گذرای DFIG را در دو حالت جبران ولتاژهای BEMF نشان می‌دهد. همان‌طور که مشاهده می‌شود با جبران ولتاژهای  $d$   $X_{com} = 1$  بالازدگی در جریان‌های روتور پس از رفع خطا کاهش یافته است اما زمان نشست این دو کمیت زیاد شده است. در حالت جبران سایر کمیت‌های مشاهده شده دارای بالازدگی بزرگتری هستند و همچنین زمان نشست آنها نیز افزایش دارد. در مجموع می‌توان نتیجه گرفت که جبران ولتاژهای BEMF موجب کاهش حد پایداری DFIG می‌شود.

#### ۸-۴- تأثیر جریان محور $d$ روتور و ضریب توان DFIG

همان‌طور که قبل از نشان داده شد دینامیک‌های استاتور وابسته به جریان محور  $d$  روتور هستند. در این مرحله برای نمایش این مطلب، شبیه‌سازی حوزه‌ی زمان با ایجاد Dip ولتاژ  $30\%$  به طول  $300$  میلی ثانیه در  $t=18sec$  انجام شده است. شکل  $(16)$  کمیت‌های شار

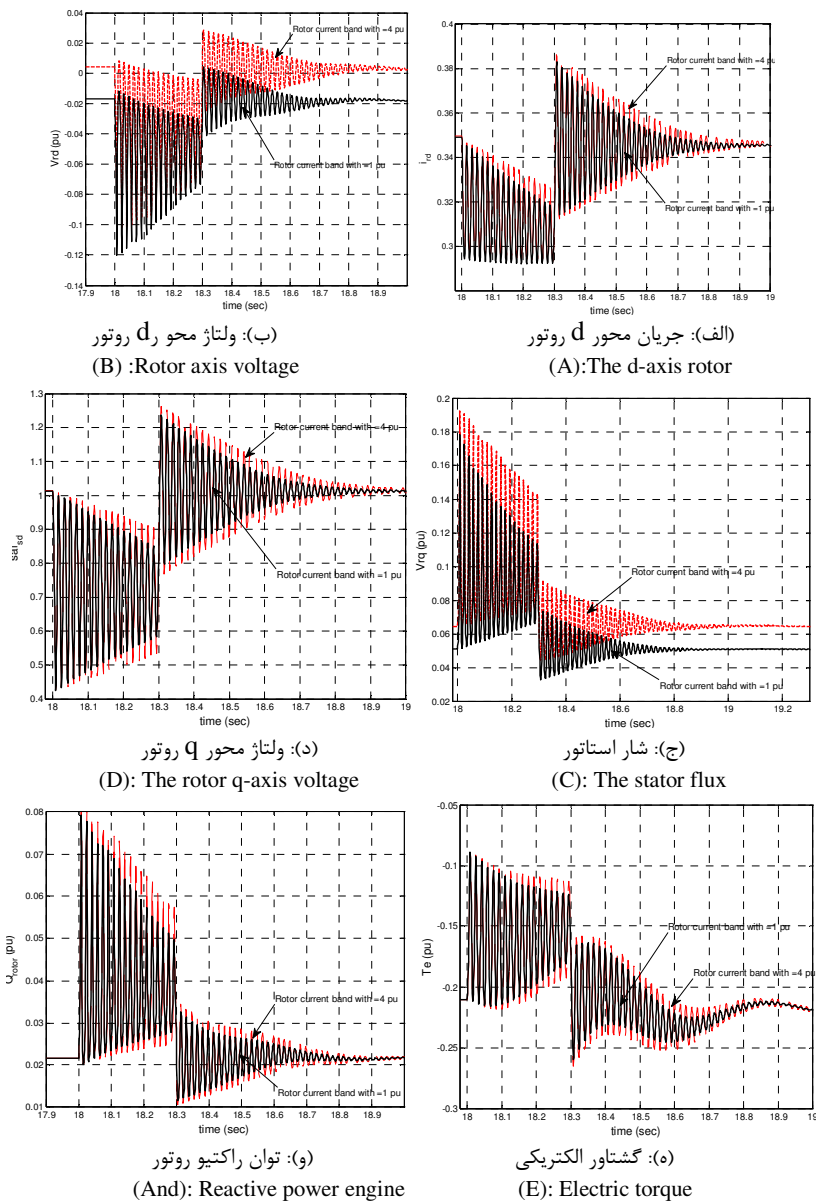
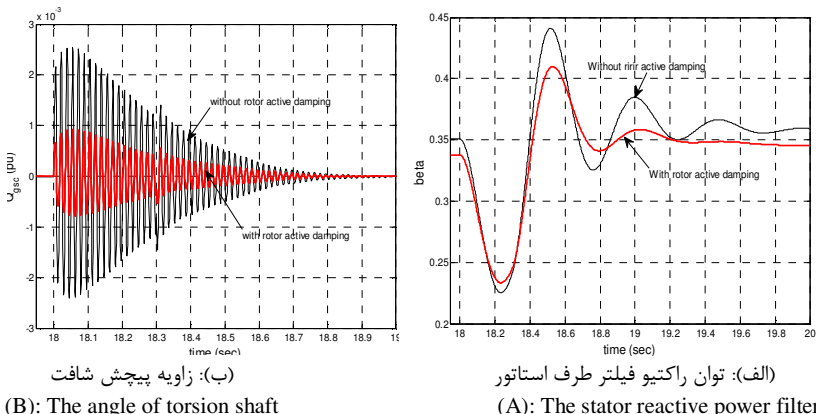


Fig. (14): Time domain response (some quantities DFIG) with voltage Dip 30% at  $t = 18\text{sec}$  and change bandwidt



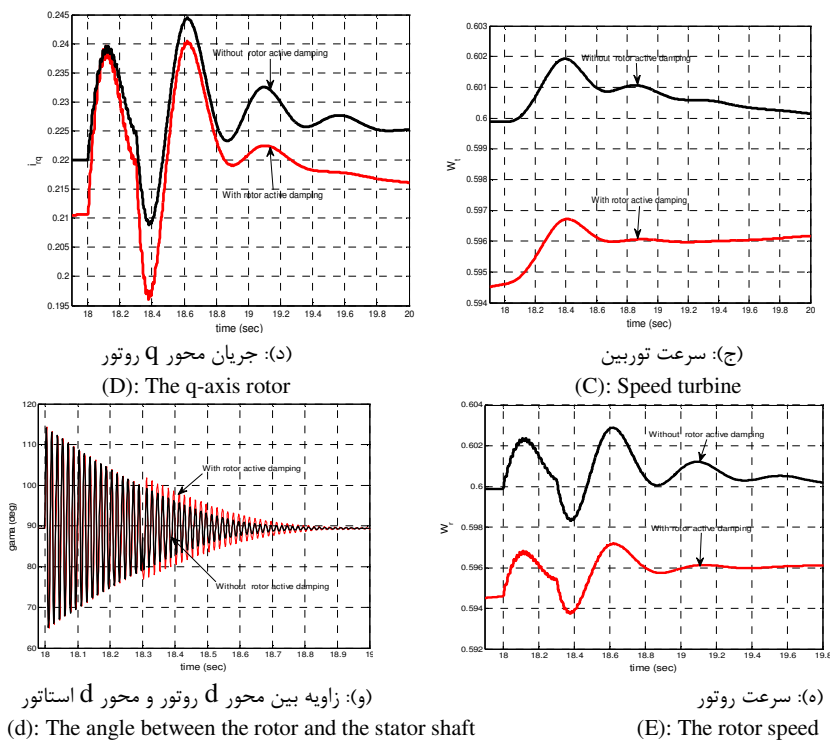
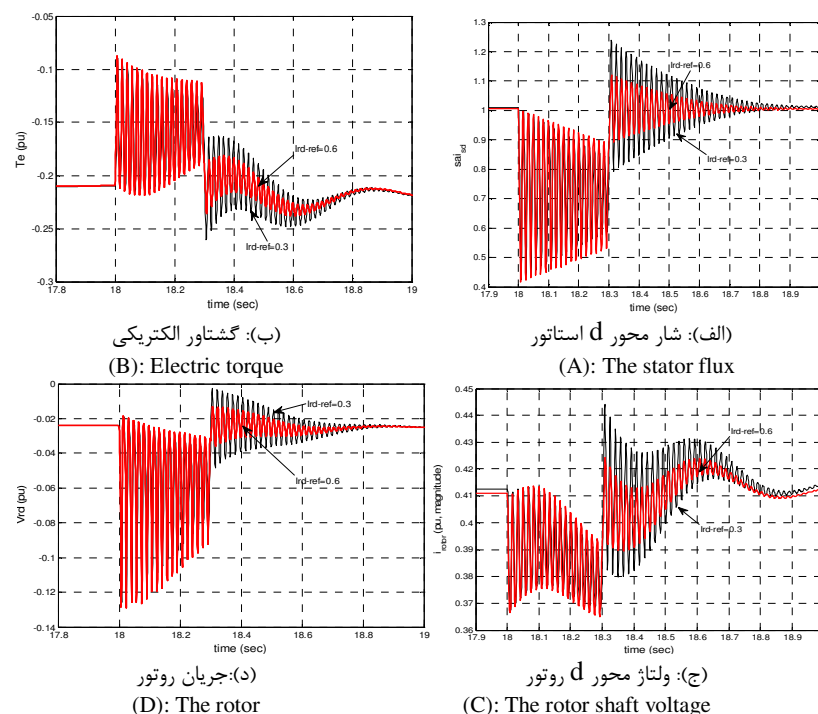
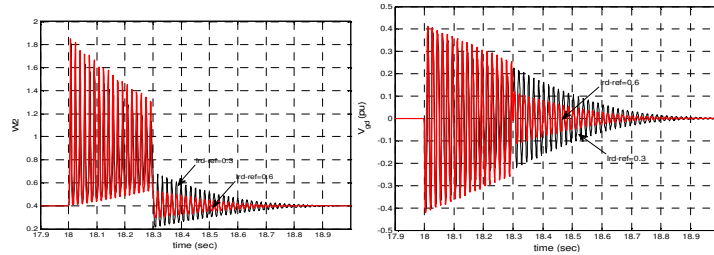


Fig. (15): Time domain response (some quantities DFIG) with voltage Dip 30% at  $t = 18\text{sec}$  with active damping



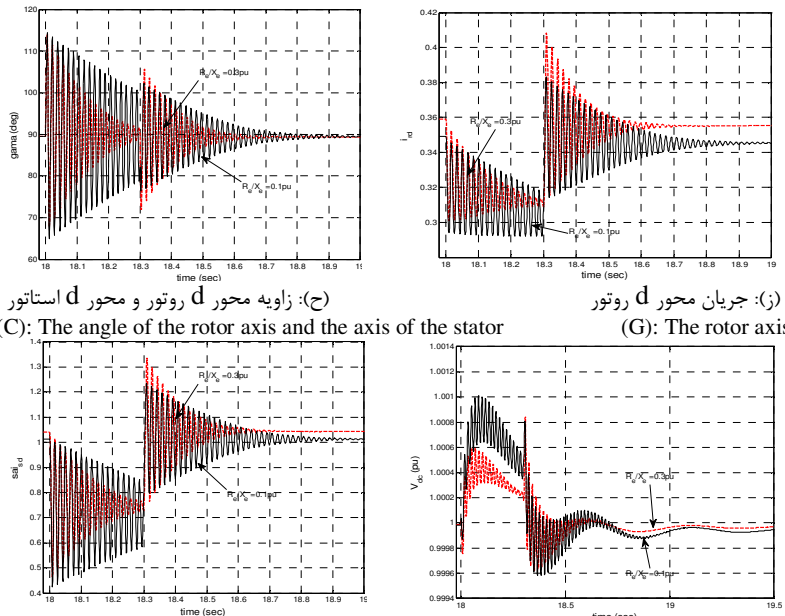


(و): توان راکتیو فیلتر طرف استاتور  
(And): The stator active power filter

(ه): سرعت لغزش روتور  
(E): Slip speed of the rotor

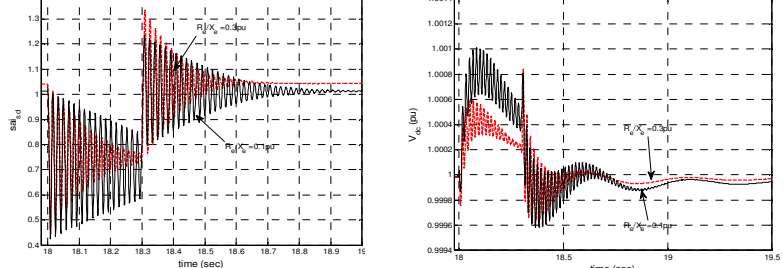
شکل (۱۶): پاسخ حوزه زمانی برخی کمیت‌های DFIG با Dip ۳۰٪ در  $t=18\text{sec}$  با تأثیر جریان محور d روتور

Fig. (16): Time domain response (some quantities DFIG) with voltage Dip 30% at  $t = 18\text{sec}$  with the impact of the d-axis rotor



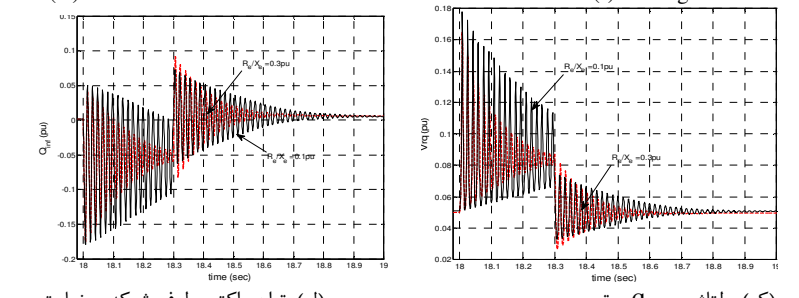
(ج): زاویه محور d روتور و محور d استاتور  
(C): The angle of the rotor axis and the axis of the stator

(ز): جریان محور d روتور  
(G): The rotor axis



(ه): شار محور d استاتور  
(A): The stator flux

(ط): ولتاژ لینک dc  
(I): Voltage dc link



(ل): توان راکتیو طرف شبکه بی نهایت  
(L): Reactive power grid side infinity

(ک): ولتاژ محور q روتور  
(K): The rotor shaft voltage

شکل (۱۷): پاسخ حوزه زمانی برخی کمیت‌های DFIG با Dip ۳۰٪ در  $t=18\text{sec}$  با ولتاژ  $\frac{R_e}{X_e}$  نسبت

Fig. (17): Time domain response (some quantities DFIG) with voltage Dip 30% at  $t = 18\text{sec}$  with the effect of  $\frac{R_e}{X_e}$

طریق کنترل ولتاژ روتور می‌تواند دینامیک روتور را بهبود ببخشد. و قادر است قابلیت اتصال را در حین خطا افزایش دهد. با این حال نشان داده شد که دینامیک‌های استاتور می‌تواند ضعیف شود و رفتار گذراش DFIG بعد از برطرف شدن خطا بدتر شود. همچنین نشان داده شد که دینامیک‌های DFIG تحت جبران EMF روتور و ولتاژ شبکه به

در این مورد از کنترل‌کننده با میرایی فعال استفاده شد. برای بهبود عملکرد کنترل‌کننده‌های PI حلقه کنترل جریان روتور، حلقه کنترل سرعت روتور و حلقه کنترل قدرت راکتیو، پنهانی باند کنترل کننده‌های را با میرایی فعال افزایش داده شد که شبیه سازی در حوزه فرکانس و از بین بردن اثرات دینامیکی استاتور در دینامیک‌های جریان روتور از

بعد از خطای DFIG و ولتاژ کنترل رتور را بهبود می‌بخشد. نتایج شبیه‌سازی نشان داد که روش کنترل پیشنهادی بسیار قوی عمل می‌کند.

**پی‌نوشت:**

- 1-Field oriented Control
- 2-Direct Foc
- 3-Indirect Foc
- 4-Puls Width Modulation
- 5-Doubly fed Induction Generator

عنوان یک سیستم تا حدی خطی شامل دینامیک‌های داخلی و خارجی است. دینامیک‌های داخلی شامل دینامیک استاتور نقش مهمی در رفتار گذرای DFIG دارد. آنها می‌توانند DFIG را برای بعد از خطای DFIG غیرخطی ناپایدار کنند. از آنجا که دینامیک‌های الکتریکی Hسبتند، طرح کنترل خطی نمی‌تواند تحت افت ولتاژ زیاد عمل کند. کنترل کننده PI با میرایی فعال دینامیک‌های داخلی را پایدار و رفتار

## References

- [1] T. Ackerman, Wind power in power systems. J. Wiley & Sons, Ltd., 2012.
- [2] M. Mahdavian, N. Wattanapongsakorn, Gh. Shahgholian, S.H. Mozafarpoor, M. Janghorbani, S.M. Shariatmadar, "Maximum power point tracking in wind energy conversion systems using tracking control system based on fuzzy controller", IEEE/ECTICON, Nakhon Ratchasima, Thailand, 2014.
- [3] R. Pena, J.C. Clare, G.M. Asher, "Doubly fed induction generator using back-to-back PWM converters and its application to variable-speed wind-energy generation", Proceeding of the IEE/EPA, Vol. 143, No. 3, pp. 231-241, May 1996.
- [4] Gh. Shahgholian, Kh. Khani, M. Moazzami, "Frequency control in autanamous microgrid in the presence of DFIG based wind turbine", Journal of Intelligent Procedures in Electrical Technology, Vol. 6, No. 23, pp. 3-12, Autumn 2015 (in Persian).
- [5] L. Xu, W. Cheng, "Torque and reactive power control of a doubly fed induction machine by position sensorless scheme", IEEE Trans. on Industry Applications, Vol. 31, No. 3, pp. 636-642, May/June 1995.
- [6] M. Fooladgar, E. Rok-Rok, B. Fani, Gh. Shahgholian, Evaluation of the trajectory sensitivity analysis of the DFIG control parameters in response to changes in wind speed and the line impedance connection to the grid DFIG", Journal of Intelligent Procedures in Electrical Technology, Vol. 5, No. 20, pp. 37-54, winter 2015 (in Persian).
- [7] T.J. Hammons, "Integrating renewable energy sources into European grids", International Journal of Electrical Power and Energy Systems, Vol. 30, No. 8, pp. 462-475, Oct. 2008.
- [8] T. Lobos, J. Rezmer, P. Janik, H. Amarí, M. Alonso, C. Álvarez, "Application of wavelets and Prony method for disturbance detection in fixed speed wind farms", International Journal of Electrical Power and Energy Systems, Vol. 31, No. 9, pp. 429–436, Oct. 2009.
- [9] M. Tavoosi, B. Fani, E. Adib, "Stability analysis and control of DFIG based wind turbine using FBC strategy", Journal of Intelligent Procedures in Electrical Technology, Vol. 4, No. 15, pp. 31-42, Autumn 2013 (in Persian).
- [10] J. Lopez, P. Sanchis, X. Roboam, L. Marroyo, "Dynamic behavior of the doubly fed induction generator during three-phase voltage dips", IEEE Trans. on Energy Conversion, Vol. 22, No. 3, pp. 709-717, Sep. 2007.
- [11] J. Morren, S.W.H. de Haan, "Short-circuit current of wind turbines with doubly fed induction generator", IEEE Trans. on Energy Conversion, Vol. 22, No. 1, pp. 174-180, March 2007.
- [12] J. López, E. Gubía, P. Sanchis, X. Roboam, L. Marroyo, "Wind turbines based on doubly fed induction generator under asymmetrical voltage dips", IEEE Trans. on Energy Conversion, Vol. 23, No. 1, pp. 321-330, March 2008.
- [13] L. Holdsworth, X.G. Wu, J.B. Ekanayake, N. Jenkins, "Comparison of fixed speed and doubly-fed induction wind turbines during power system disturbances", IEE Proceedings - Generation, Transmission and Distribution, Vol. 150, No. 3, pp. 343-352, May 2003.
- [14] M.V.A. Nunes, J.A.P. Lopes, H.H. Zurn, U.H. Bezerra, R.G. Almeida, "Influence of the variable-speed wind generators in transient stability margin of the conventional generators integrated in electrical grids", IEEE Trans. on Energy Conversion, Vol. 19, No. 4, pp. 692-701, Dec. 2004.
- [15] A.A. El-Sattar, N.H. Saad, M.Z.S. El-Dein, "Dynamic response of doubly fed induction generator variable speed wind turbine under fault", Electric Power Systems Research, Vol. 78, No. 7, pp. 1240-1246, July 2008.
- [16] F. Wu, X.P. Zhang, K. Godfrey, P. Ju, "Small signal stability analysis and optimal control of a wind turbine with doubly fed induction generator", IET Generation, Transmission and Distribution, Vol. No. 5, pp. 751–760, 2007.
- [17] F. Wu, X. Zhang, K. Godfrey, P. Ju, "Modeling and Control of Wind Turbine with Doubly Fed Induction Generator", Proceeding of the IEEE/PSCE, pp. 1404–1409, Atlanta, GA, Oct./Nov. 2006.
- [18] F. Mei, B. Pal, "Modal analysis of grid-connected doubly fed induction generators", IEEE Trans. on Energy Conversion, Vol. 22, No. 3, pp. 728-736, Sep. 2007.
- [19] F. Mei, B.C. Pal, "Modelling and small-signal analysis of a grid connected doubly-fed induction generator", Proceeding of the IEEE/PES, Vol. 3, pp. 2101 – 2108, June 2005.
- [20] Gh. Shahgholian, P. Shafaghi, "State space modeling and eigenvalue analysis of the permanent magnet DC motor drive system", IEEE/ICECT, pp. 63-67, Kuala Lumpur, Malaysia, May 2010.
- [21] Gh. Shahgholian, J. Faiz, "The effect of power system stabilizer on small signal stability in single-machine infinite-bus", International Journal of Electrical and Engineering, Vol. 4, No. 2, pp.45-53, 2010.